

ISSN 0536 – 1036

DOI:10.17238/issn0536-1036

ИЗВЕСТИЯ  
ВЫСШИХ УЧЕБНЫХ ЗАВЕДЕНИЙ

Лесной  
журнал

Основан в 1833 г.

2/362

2018



## СОДЕРЖАНИЕ

### ЛЕСНОЕ ХОЗЯЙСТВО

<i>В.П. Макаров, Ю.В. Зима, О.Ф. Малых, Е.А. Банщикова.</i> Опыт, состояние и перспективы создания культур <i>Pinus sylvestris</i> L. в степных борах Восточного Забайкалья.....	9
<i>А.Ю. Карпекко.</i> Влияние несплошной рубки на тонкие корни и микоризные окончания ели обыкновенной.....	23
<i>А.Е. Осипенко, С.В. Залесок.</i> Производительность искусственных сосняков в ленточных борах Алтайского края.....	33
<i>Д.А. Данилов, Н.В. Беляева, А.В. Грязькин.</i> Особенности формирования запаса и товарной структуры модальных хвойных древостоев сосны и ели к возрасту спелого насаждения.....	40
<i>Н.О. Пастухова, А.И. Горкин, О.П. Лебедева.</i> Сравнительный анализ смолопродуктивности сосны в разных лесорастительных условиях.....	49

### ЛЕСОЭКСПЛУАТАЦИЯ

<i>М.М. Умаров, А.В. Скрыпников, Е.В. Чернышова, Е.Ю. Микова.</i> Применение цифровых моделей местности для трассирования лесных автомобильных дорог.....	58
<i>Ю.А. Макарова, А.Ю. Мануковский.</i> Исследование воздействия паводковых вод на разрушение откосов земляного полотна.....	70
<i>П.Н. Перфильев.</i> Исследование оптимальных методов сплотки круглых лесоматериалов.....	77

### МЕХАНИЧЕСКАЯ ОБРАБОТКА ДРЕВЕСИНЫ И ДРЕВЕСИНОВЕДЕНИЕ

<i>А.Г. Гороховский, Е.Е. Шишкова, Е.В. Старова, А.А. Миков.</i> Анализ процессов сушки древесины существенно неизотермическими режимами.....	88
<i>В.В. Лозовецкий, А.А. Шафрин, С.А. Катков.</i> Моделирование движения древесностружечных материалов в цилиндроконических бункерах.....	97

### ХИМИЧЕСКАЯ ПЕРЕРАБОТКА ДРЕВЕСИНЫ

<i>В.В. Гораздова, Е.В. Дернова, Д.А. Дулькин, Е.О. Окулова.</i> Влияние фибрillationирования и укорочения волокон при размоле на характеристики прочности, деформативности и трещиностойкости целлюлозных материалов.....	109
<i>А.Н. Иванкин, В.Г. Санаев, Г.А. Горбачева, А.К. Агеев, Д.П. Кирюхин, Г.А. Кичигина, П.П. Кущ.</i> Модификация свойств природных целлюлозосодержащих композиционных материалов фторсополимерами и теломерами тетрафторэтилена.....	122

### КРАТКИЕ СООБЩЕНИЯ И ОБМЕН ОПЫТОМ

<i>К.Л. Михайлов, Д.Х. Файзуллин, Н.А. Демина.</i> Роль научно-исследовательских и опытно-конструкторских работ в лесном хозяйстве.....	133
---	-----



## ХИМИЧЕСКАЯ ПЕРЕРАБОТКА ДРЕВЕСИНЫ

УДК 676.054.6

DOI: 10.17238/issn0536-1036.2018.2.109

### ВЛИЯНИЕ ФИБРИЛЛИРОВАНИЯ И УКОРОЧЕНИЯ ВОЛОКОН ПРИ РАЗМОЛЕ НА ХАРАКТЕРИСТИКИ ПРОЧНОСТИ, ДЕФОРМАТИВНОСТИ И ТРЕЩИНОСТОЙКОСТИ ЦЕЛЛЮЛОЗНЫХ МАТЕРИАЛОВ\*

*В.В. Гораздова<sup>1</sup>, асп.*

*Е.В. Дернова<sup>1</sup>, канд. техн. наук, доц.*

*Д.А. Дулькин<sup>2</sup>, д-р. техн. наук, ген. директор*

*Е.О. Окулова<sup>1</sup>, асп.*

<sup>1</sup>Северный (Арктический) федеральный университет им. М.В. Ломоносова,  
наб. Северной Двины, д. 17, г. Архангельск, Россия, 163002;

e-mail: v.gorazdova@narfu.ru, e.dernova@narfu.ru, e.okulova@narfu.ru

<sup>2</sup>Управляющая компания «Объединенные бумажные фабрики», ул. Трудовая, д. 2,  
пос. Попотняный Завод, Дзержинский р-н, Калужская обл., Россия, 249844;  
e-mail: dtmdulkin@yandex.ru

Размол волокнистых материалов является одним из ключевых процессов обработки растительных волокон в целях придания им бумагообразующих свойств. При размоле растительных волокон в водной среде происходит как чисто механический (укорачивание и продольное расщепление волокон на фибриллы), так и коллоидно-химический (набухание и гидратация волокон) процессы. Цель работы – изучение влияния преимущественного укорачивающего или фибринлирующего размола, смоделированного в лабораторных условиях, на прочностные и деформационные характеристики волокнистых полуфабрикатов. Преимущественное укорочение волокон наблюдается при размоле массы низкой концентрации, в ходе которого на каждое волокно, попадающее между ножами размалывающего аппарата, приходится большее удельное давление. Для получения сильно фибринлированных волокон, напротив, следует подвергать размолу массу высокой концентрации, в процессе которого каждому волокну будет соответствовать меньшее удельное давление и большее взаимное трение волокон, способствующее их расчесыванию и расщеплению. В связи с этим моделирование укорачивающего или фибринлирующего размола при разной концентрации массы проведено в лабораторных условиях с использованием трех видов размалывающего оборудования – лабораторного ролла, мельниц Йокро и РР1. Объектами исследования служили образцы хвойной небеленой целлюлозы высокого и нормаль-

\*При выполнении исследований использовалось оборудование Инновационно-технологического центра «Современные технологии переработки биоресурсов Севера», Центра коллективного пользования научным оборудованием «Арктика» и лаборатории нанотехнологии кафедры теоретической физики Северного (Арктического) федерального университета им. М.В. Ломоносова, созданных при финансовой поддержке Минобрнауки России.

Для цитирования: Гораздова В.В., Дернова Е.В., Дулькин Д.А., Окулова Е.О. Влияние фибринлирования и укорочения волокон при размоле на характеристики прочности, деформативности и трещиностойкости целлюлозных материалов // Лесн. журн. 2018. № 2. С. 109–121. (Изв. высш. учеб. заведений). DOI: 10.17238/issn0536-1036.2018.2.109

ного выхода. Продемонстрирована возможность моделирования преимущественного укорачивания или фибролизирования волокон при лабораторном размоле, что позволяет целенаправленно изменять бумагообразующие свойства волокон и получать бумажный лист с заданными потребительскими свойствами.

**Ключевые слова:** размол, фибролизирование, укорачивание, целлюлоза высокого выхода, целлюлоза нормального выхода, прочность, деформативность, трещиностойкость.

### *Введение*

Назначение размола – придание волокнам определенной структуры и размеров по длине и толщине, гибкости и пластичности, необходимой степени гидратации для обеспечения хорошего формования (просвета) и заданных свойств бумаги. При размоле полуфабрикатов механические процессы вызывают измельчение волокон и обусловливают структуру бумаги, а коллоидно-физические явления, происходящие в результате взаимодействия целлюлозы с водой, обеспечивают связь волокон в бумаге [7–9].

В процессе размола происходит разрушение межволокнистых связей внутри клеточной стенки и образование зон смещения структурных элементов в волокнах, в результате чего возникают микротрещины, в которые проникает вода, в дальнейшем вступающая во взаимодействие со свободными гидроксильными группами целлюлозного комплекса. Расклинивающее действие воды приводит к более глубокому расщеплению волокон при размоле, увеличивая их гибкость и пластичность. Образование зон смещения в волокнах осуществляется вдоль клеточной стенки и может закончиться расщеплением ее на отдельные фрагменты.

Многими исследователями [11–17] показано, что в процессе размола происходит внешняя и внутренняя фибролизация волокна. Внешняя фибролизация заключается в полном или частичном отделении от волокна фибрилл, что способствует увеличению наружной поверхности волокон и числа свободных гидроксильных групп на их поверхности. Вместе с тем внешняя фибролизация ослабляет прочность самого волокна. Внутренняя фибролизация приводит к необратимым перегрузкам структурных элементов внутри набухшей вторичной стенки волокна, не уменьшая его прочности. Процессы внешнего и внутреннего фибролизирования трудно разделить, так как они тесно взаимосвязаны. Косвенно степень внешней фибролизации оценивают обычно по изменению наружной поверхности волокон, внутренней – по их гибкости.

В процессе размола волокно подвергается также укорачиванию. При размоле жесткие целлюлозные волокна преимущественно фибролизируются, а мягкие укорачиваются, хотя этот процесс в значительной степени определяется режимом (условиями) размола [19, 20, 24].

Цель данной работы – исследование влияния преимущественного укорачивающего или фибролизирующего размола, смоделированных в лабораторных условиях, на характеристики прочности, деформативности и трещиностойкости волокнистых полуфабрикатов.

### *Объекты и методы исследования*

Моделирование различного характера разработки волокон при размоле (преимущественного укорачивания или фибролизирования) осуществляли при помощи следующего лабораторного оборудования:

ролл (концентрация массы 1,0 %) – для большей рубки волокон при двух значениях прижима по механическому воздействию (ролл<sub>раб</sub> и ролл<sub>нас</sub>);

мельница Йокро (6,0 %) – для получения промежуточного характера помола волокон (укорочение и фибролизирование примерно в равной степени);

мельница PFI (10,0 %) – для большего фибролизирующего воздействия на волокна в режиме присадки ( $PFI_{max} = 2,25$  мм) и отсадки ( $PFI_{min} = 7,00$  мм) барабана.

В качестве объектов исследования использовали хвойную целлюлозу нормального и высокого выхода (ЦВВ). Полуфабрикаты во всех размалывающих аппаратах размалывали до степени помола 25 °ПР. Для оценки прочностных и деформационных свойств исследуемых полуфабрикатов изготавливали лабораторные образцы массой 100 г/м<sup>2</sup>.

Для определения структурно-морфологических характеристик волокон использовали анализатор свойств волокна системы Fiber Tester, разработанный компанией «Lorentzen & Wettre». С помощью этого прибора оценивали следующие показатели: длина и ширина волокна ( $l$ , мм, и  $w$ , мкм); средний фактор формы ( $F$ , %); доля мелочи ( $M$ , %); грубость волокна ( $G$ , мкг/м); средний угол излома ( $Y_{из}$ ); количество изломов на волокно ( $N$ ); средняя длина сегмента ( $l_{сег}$ , мм).

Стандартные лабораторные образцы (отливки) из предварительно подготовленной волокнистой массы изготавливали в соответствии с ГОСТ 14363.4–89 на листоотливном аппарате типа Rapid-Köthen BBS-2 Estanit [4].

Прочность волокон в структуре образцов ( $P_0$ , Н/см) определяли на приборе The Pulmac Zero-Span Tensile Tester согласно ТАРРІ Т 231 см-96 и ТАРРІ Т 273 см-95 [22, 23].

Величину межволоконных сил связи ( $F_{св}$ , МН/а) устанавливали по методу С.Н. Иванова путем измерения внешнего усилия, необходимого для сдвига в плоскости соприкосновения слоев двухслойных отливок массой 1 м<sup>2</sup> каждого слоя 100 г.

Показатели качества лабораторных образцов исследовали, используя стандартные методы:

толщину образцов – по ГОСТ 27015–86 [5];

прочность на разрыв и удлинение при растяжении – по ГОСТ 13525.1–79 [1] при помощи лабораторного испытательного комплекса, включающего разрывную машину ТС 101-0,5 (г. Иваново) и ПЭВМ. Программное обеспечение Komplex для математической обработки индикаторной диаграммы «нагрузка–удлинение» позволяет рассчитывать такие характеристики, как плотность ( $\rho$ , г/см<sup>3</sup>); напряжение при разрушении ( $\sigma_p$ , МПа); деформация разрушения ( $\varepsilon_p$ , %); разрывная длина ( $l_r$ , м); работа разрушения ( $A_p$ , мДж) [10];

прочность на излом при многократных перегибах ( $N$ , ч.д.п.) – по ГОСТ 13525.2–80 на приборе марки FRANK-PTI [2];

сопротивление продавливанию ( $\Pi$ , кН/а) – по ГОСТ 13525.8–80 на приборе марки Lorentzen & Wettre [3];

сопротивление сжатию на коротком расстоянии (SCT, кН/м) – по ГОСТ Р ИСО 9895–2013 на приборе марки FRANK-PTI [6];

трещиностойкость ( $FT$ , Дж/м) – согласно ISO/TS 17958:2013 на приборе марки Lorentzen & Wettre [18, 21].

*Результаты исследования и их обсуждение*

Сравнительный микроскопический анализ образцов полуфабрикатов до и после лабораторного размола наглядно демонстрирует различный характер помола волокон в зависимости от вида размалывающего аппарата (рис. 1).

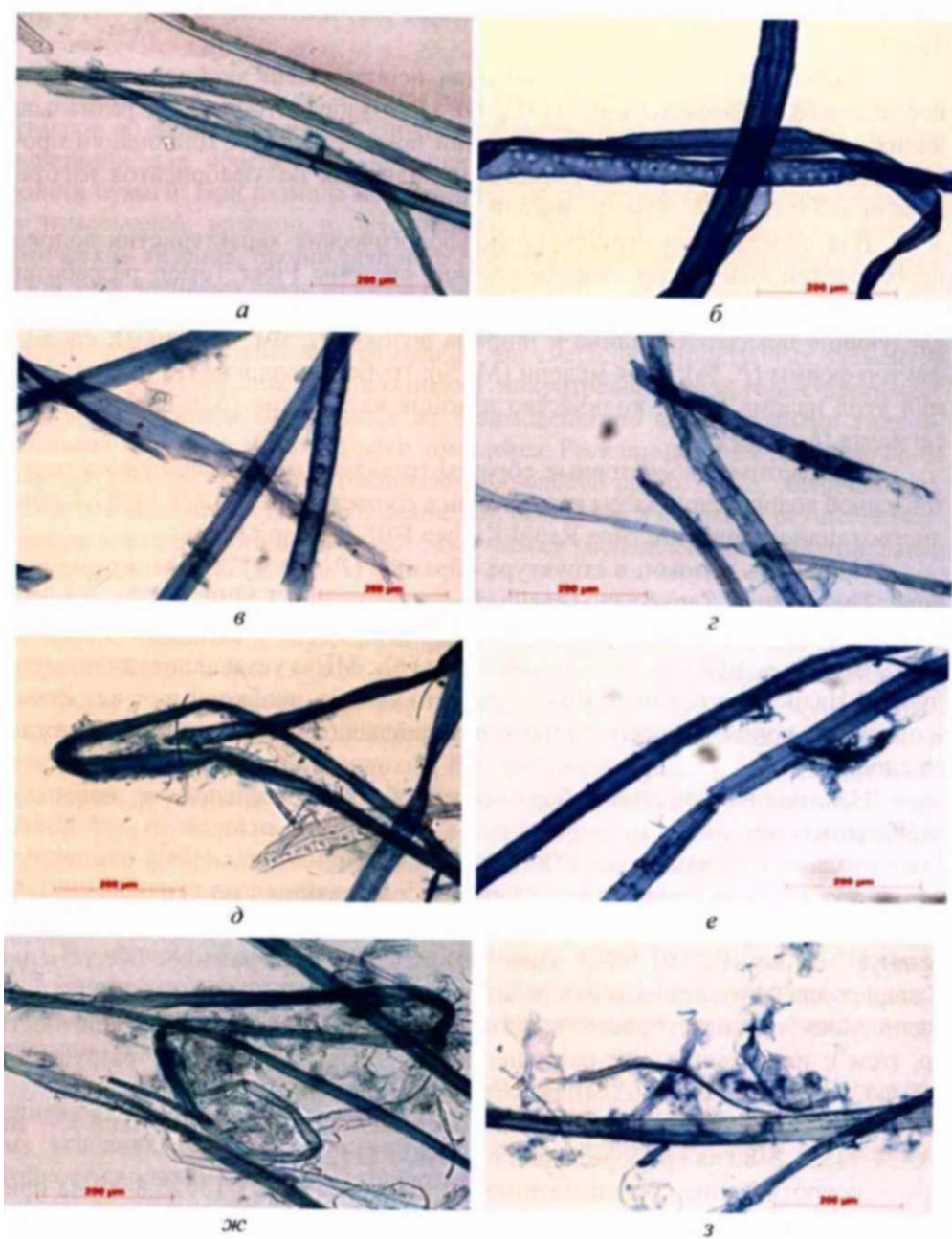


Рис. 1. Микрофотографии волокон полуфабрикатов до размола (a, б), после размола в ролле (в, г), мельницах Йокро (д, е) и PFI (ж, з): а, в, д, ж, жс – ЦВВ; б, г, е, з – целлюлоза нормального выхода

Количественный анализ изменения структурно-морфологических свойств волокон в исследуемых условиях размола представлен в табл. 1.

Таблица 1  
Результаты, полученные на анализаторе волокна Fiber Tester  
для ЦВВ и целлюлозы нормального выхода

Образец	<i>l</i> , мм	<i>w</i> , мкм	<i>F</i>	<i>M</i>	$\Gamma$ , мкг/м	$Y_{изл}$	<i>N<sub>s</sub></i>	<i>l<sub>сегм</sub></i> , мм
			%	%				
<i>Целлюлоза высокого выхода</i>								
Исходный	2,41	32,7	89	2,4	192	52	0,444	1,99
После размола:								
ролл <sub>max</sub>	2,01	33,4	90	8,2	162	52	0,316	1,79
ролл <sub>min</sub>	2,02	33,0	91	7,9	156	51	0,241	1,87
ЦРА	2,18	32,8	89	7,0	168	56	0,396	1,88
PFI <sub>min</sub>	2,23	32,9	86	6,6	145	54	0,709	1,70
PFI <sub>max</sub>	2,21	32,8	86	7,3	156	54	0,694	1,70
<i>Целлюлоза нормального выхода</i>								
Исходный	2,26	30,0	82	4,9	199	56	1,239	1,25
После размола:								
ролл <sub>max</sub>	1,75	30,4	89	6,4	147	52	0,443	1,48
ролл <sub>min</sub>	2,09	29,6	89	5,3	146	55	0,359	1,84
ЦРА	1,77	27,8	87	4,7	143	55	0,571	1,38
PFI <sub>min</sub>	2,13	29,9	83	4,2	131	57	0,859	1,48
PFI <sub>max</sub>	2,12	29,7	84	4,1	145	57	0,959	1,41

В целом исходные (неразмолотые) волокна хвойных полуфабрикатов отличаются лентообразной формой с тупыми или заостренными концами и узкими полостями, наличием окаймленных пор. Длина волокон в среднем составляет 2,2...2,4 мм, ширина – около 30 мкм.

Волокна ЦВВ в силу технологии производства характеризуются более высокими значениями длины, ширины и фактора формы и относительно низкими значениями доли мелочи и степени дефектности волокон по сравнению с волокнами целлюлозы нормального выхода.

Проведение процесса размола в трех разных размалывающих аппаратах до одинаковой степени помола волокон позволило смоделировать характер их разработки. При размоле полуфабрикатов в ролле наблюдаются снижение их длины на 17 % для ЦВВ и 23 % для целлюлозы нормального выхода и закономерное существенное повышение доли мелкой фракции (в 3,5 и 1,3 раза соответственно). При этом отмечается «выпрямление» волокон (фактор формы для обоих видов полуфабрикатов составил 89...91 %) за счет обрывания крайних сегментов, о чем, в свою очередь, свидетельствует уменьшение числа изломов на волокне.

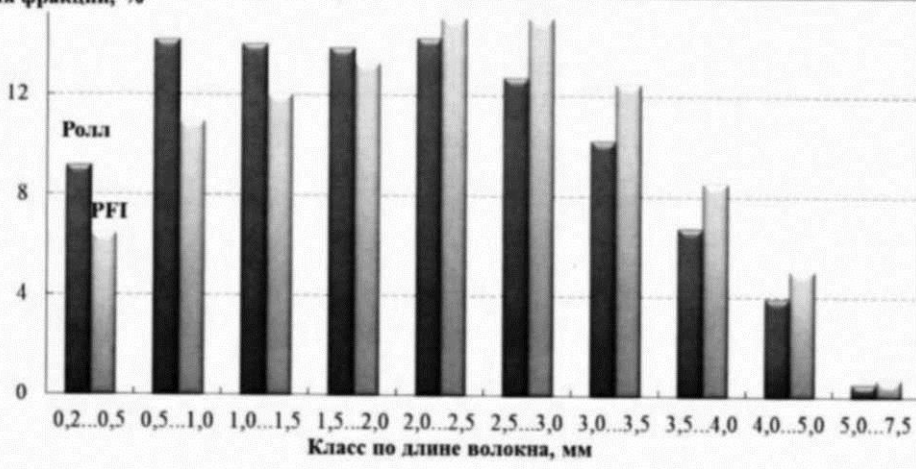
Противоположный характер разработки волокон получен при проведении процесса размола в мельнице PFI. Высокая концентрация массы при размоле обусловливает разработку поверхности волокон с сохранением их длины. Так, при размоле ЦВВ и целлюлозы нормального выхода до 25 °ШР отмечено снижение средней длины волокон лишь на 8 и 6 % соответственно. Преимущес-

твенное фибролизирующее воздействие подтверждается изменением гибкости (фактор формы и число изломов на волокне) и грубоści волокон, которая уменьшается от 192...199 до 131...145 мкг/м в данных условиях размола.

Данные об изменении свойств волокон в процессе размола в мельнице Йокро логично занимают промежуточное положение. Обработка волокон в этом аппарате в большей степени оказывает влияние на изменение свойств целлюлозы нормального выхода, что обусловлено более интенсивной степенью воздействия на клеточную стенку в процессе глубокой варки.

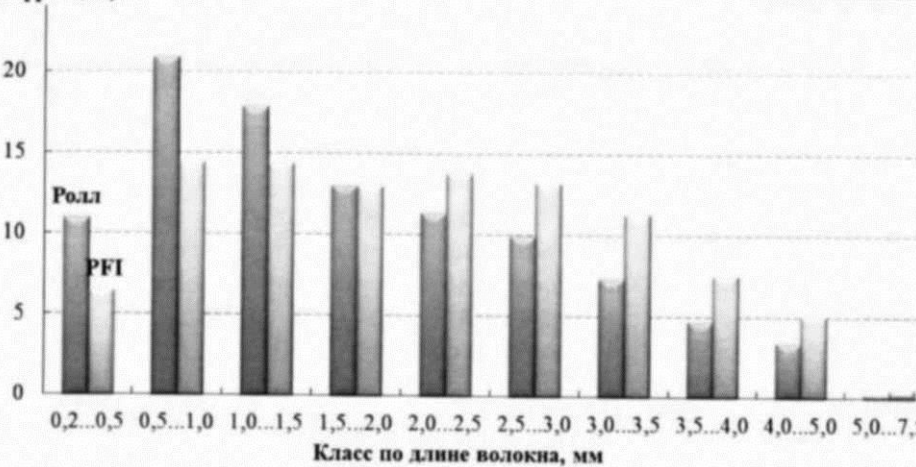
Дополнительным подтверждением преимущественного укорачивания или фибролизирования волокон при моделировании процесса размола полуфабрикатов в различных размалывающих аппаратах являются данные о распределении фракций волокон по длине в ролле и мельнице PFI (рис. 2).

Доля фракции, %



а

Доля фракции, %



б

Рис. 2. Фракционный состав полуфабрикатов после размола: а – ЦВВ; б – целлюлоза нормального выхода

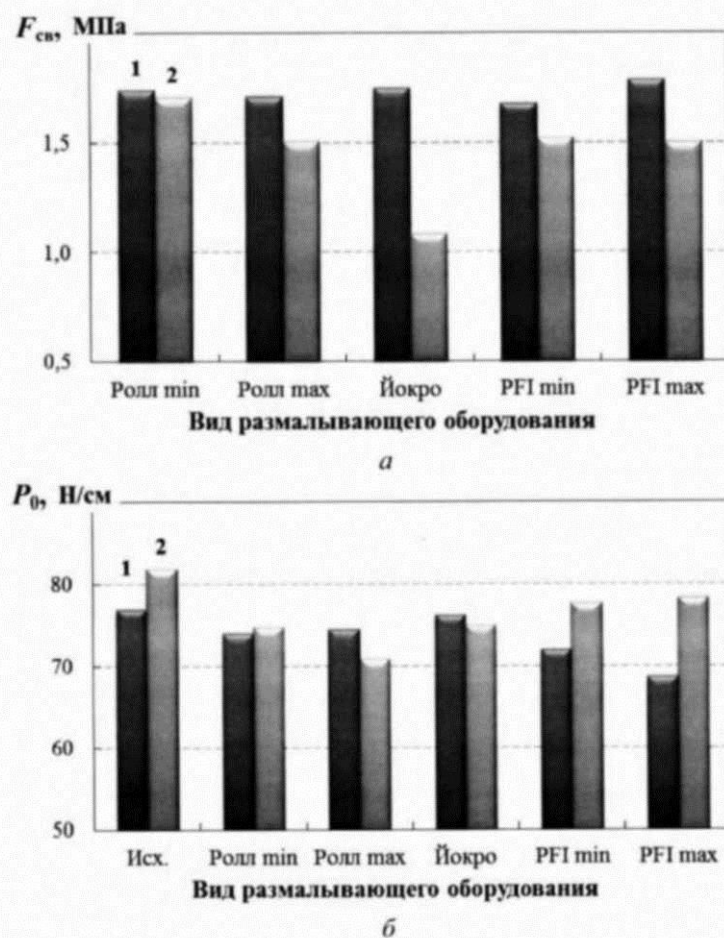


Рис. 3. Изменение интенсивности межволоконных взаимодействий (а) и собственной прочности волокон (б) полуфабрикатов после размола: 1 – ЦВВ; 2 – целлюлоза нормального выхода (исх. – исходный образец)

На рис. 3 представлено изменение фундаментальных свойств волокон (интенсивности межволоконных взаимодействий  $F_{cb}$  и собственной прочности  $P_0$ ) в моделируемых процессах размола полуфабрикатов.

Отметим, что любой режим размола приводит к снижению прочности волокон в образцах ЦВВ. В большей степени отрицательный эффект размола для данного полуфабриката проявляется при проведении процесса, направленного на преимущественное фибрillирование волокон ( $P_0$  снижается на 11 %). Это, очевидно, обусловлено наличием в технологии получения ЦВВ стадии горячего размола, которая приводит к росту дефектности волокон. Высокая концентрация массы при моделировании фибрillирующего размола, в свою очередь, провоцирует снижение прочности волокон и их разрушение по местам дефектов, о чем свидетельствует повышенная доля мелочи в полуфабрикате.

В случае целлюлозы нормального выхода фибрillирующий характер размола позволяет сохранить прочность волокон на достаточно высоком уровне, что обусловлено повышенной гибкостью длинных лентообразных волокон целлюлозы с низким остаточным содержанием лигнина. Такие волокна

в большей степени подвержены рубящему действию размалывающей гарнитуры, но легче поддаются внутреннему фибролизированию без критического нарушения целостности клеточной стенки.

Как укорачивающий, так и фибролизирующий характер размола волокон увеличивает уровень межволоконных сил связи в образцах. В большей степени данный эффект наблюдается у образцов целлюлозы нормального выхода, что является логичным следствием повышенной гибкости и существенного снижения грубости трахеид в условиях глубокой сульфатной варки. Наименьший уровень межволоконных сил связи отмечен у образцов, размолотых в мельнице Йокро, так как данный размалывающий аппарат обеспечивает «мягкое» воздействие на волокно с позиции не только его укорочения, но и фибролизирования и в меньшей степени интенсифицирует развитие межволоконных взаимодействий.

Уровень значений характеристик прочности, деформативности и трещиностойкости исследуемых полуфабрикатов в зависимости от характера помола волокна представлен в табл. 2.

**Таблица 2**  
**Показатели физико-механических свойств лабораторных образцов**  
**ЦВВ и целлюлозы нормального выхода**

Размалывающее оборудование	$\rho$ , г/см <sup>3</sup>	$\sigma_p$ , МПа	$\varepsilon_p$ , %	$L$ , м	$FT$ , Дж/м	$A_p$ , мДж	$N$ , ч.д.п.	$SCT$ , кН/м	$\Pi$ , кПа
<i>Целлюлоза высокого выхода</i>									
Ролл <sub>min</sub>	0,377	37,7	2,71	8 950	0,367	219	980	3,84	640
ЦРА	0,399	39,5	2,84	9 200	0,505	237	1 100	4,24	720
PFI <sub>min</sub>	0,395	37,2	3,06	9 450	0,456	252	2 390	4,02	700
<i>Целлюлоза нормального выхода</i>									
Ролл <sub>min</sub>	0,754	80,8	3,00	10 800	0,811	272	2 930	4,18	610
ЦРА	0,755	70,3	3,93	9 300	0,976	311	2 720	3,47	800
PFI <sub>min</sub>	0,833	83,9	3,42	10 100	0,813	314	3 600	3,83	780

В целом для целлюлозы нормального выхода в моделируемых процессах размола оптимальный характер разработки волокон с позиций их средней длины и прочности наблюдается при преимущественном фибролизировании волокон. Такие лабораторные образцы целлюлозы отличаются наивысшей прочностью ( $\sigma_p$ ,  $A_p$ ,  $N$ ) и трещиностойкостью ( $FT$ ), что связано с уплотнением структуры образцов ( $\rho$ ), повышением их равномерности и сомкнутости за счет разработки волокон. Для целлюлозы нормального выхода максимальная деформационная способность ( $\varepsilon_p$ ) отмечена в случае проведения процесса размола в мельнице Йокро, которая обеспечивает получение массы с оптимально укороченными и фибролизированными волокнами одновременно.

Свойства ЦВВ изменяются незначительно из-за сохранности исходного лигноуглеводного комплекса клеток древесины в условиях короткой варки.

Для ЦВВ проведение размола в мельнице Йокро позволяет, с одной стороны, сохранить на достаточно высоком уровне среднюю длину и собственную прочность волокон, с другой – интенсифицировать развитие межволоконных взаимодействий. В совокупности данные факторы приводят к получению максимальных значений показателей качества ЦВВ (сопротивление

продавливанию, сопротивление сжатию по методу *SCT*, трещиностойкость). Максимальные значения разрывной длины, сопротивления излому, работы и деформации разрушения закономерно обнаруживаются в случае преимущественного фибрillирования волокон при размоле в мельнице РFI при сохранении их длины.

Проведение процесса размола ЦВВ в лабораторном ролле, т. е. с выделением преимущественной рубки волокон, не позволяет получить высокий уровень значений ни по одному исследуемому показателю.

### *Заключение*

Установлено, что размол волокнистых полуфабрикатов существенно влияет на равномерность макроструктуры бумаги, поскольку изменяет содержание мелкой фракции, среднюю длину волокон, их прочность, гибкость и способность к связеобразованию.

Показано, что при размоле волокнистых полуфабрикатов в лабораторном ролле (при низкой концентрации массы) укорачивание волокон происходит в большей степени, в мельнице Йокро наравне с укорочением наблюдается фибрillирование кластичных стенок, в мельнице РFI (при высокой концентрации массы) в основном происходит фибрillирование волокон с образованием небольшого количества обрывков и мелких элементов.

Представлена возможность различных вариаций размола в целях придания готовой продукции требуемых физико-механических показателей полуфабрикатов для бумаги и картона.

Продемонстрирована простота и легкость моделирования размола в лабораторных условиях с преимущественным выделением определенного характера размола, что позволяет добиваться заданных бумагообразующих свойств.

### **СПИСОК ЛИТЕРАТУРЫ**

1. ГОСТ 13525.1–79. Полуфабрикаты волокнистые, бумага, картон. Метод определения прочности на разрыв и удлинение при растяжении. Взамен ГОСТ 13525.1–68; введ. 1980-07-01. М.: Стандартинформ, 2007. 5 с.
2. ГОСТ 13525.2–80. Полуфабрикаты волокнистые, бумага и картон. Метод определения прочности на излом при многократных перегибах. Взамен ГОСТ 13525.2–68; введ. 1981-06-30. М.: Стандартинформ, 2007. 4 с.
3. ГОСТ 13525.8–86. Полуфабрикаты волокнистые, бумага и картон. Метод определения сопротивления продавливанию. Взамен ГОСТ 13525.8–78, ГОСТ 13648.7–784; введ. 1988-01-01. М.: Стандартинформ, 2007. 6 с.
4. ГОСТ 14363.4–89. Целлюлоза. Метод подготовки проб к физико-механическим испытаниям. Взамен ГОСТ 14363.4–79; введ. 1993-01-01. М.: Изд-во стандартов, 1993. 14 с.
5. ГОСТ 27015–86. Бумага и картон. Методы определения толщины, плотности и удельного объема. Взамен ГОСТ 13199–67, ГОСТ 12432–77; введ. 1988-01-01. М.: Изд-во стандартов, 2002. 4 с.
6. ГОСТ Р ИСО 9895–2013. Бумага и картон. Определение сопротивления сжатию. Метод испытания на коротком расстоянии между зажимами. Введ. 2015-01-01. М.: Стандартинформ, 2014. 12 с.
7. Дулькин, Д.А., Спирidonов В.А., Комаров В.И., Блинова Л.А. Свойства целлюлозных волокон и их влияние на физико-механические характеристики бумаги и картона: моногр., под ред. В.И. Комарова. Архангельск: САФУ, 2011. 176 с.

8. Дьякова Е.В., Комаров В.И., Носкова Е.С. Устойчивость к инициированию и росту трещин в структуре целлюлозно-бумажных материалов // Лесн. журн. 2007. № 1. С. 126–141. (Изв. высш. учеб. заведений)
9. Иванов С.Н. Технология бумаги. 3-е изд. М.: Школа бумаги, 2006. 696 с.
10. Казаков Я.В., Комаров В.И. Программное обеспечение лабораторного испытательного комплекса для оценки деформативности и прочности целлюлозно-бумажных материалов. Свидетельство об официальной регистрации программы для ЭВМ. № 2001610526 от 10 мая 2001 г.
11. Карлссон Х. Гид по волокну. Анализ волокна и его применение в ЦБП: справочное руководство. Швеция: AB Lorentzen & Wette, 2006. 118 с.
12. Кларк Дж. Технология целлюлозы (наука о целлюлозной массе и бумаге, подготовка массы, переработка ее на бумагу, методы испытаний). М.: Лесн. пром-сть, 1983. 456 с.
13. Комаров В.И., Казаков Я.В. Связь фундаментальных свойств (по Кларку) неразмолотой сульфатной небеленой целлюлозы с характеристиками деформативности и прочности // Лесн. журн. 1993. № 2-3. С. 112–116. (Изв. высш. учеб. заведений).
14. Комаров В.И., Казаков Я.В. Влияние размола на корреляцию фундаментальных свойств (по Кларку) сульфатной небеленой целлюлозы с характеристиками деформативности и прочности // Актуальные проблемы рационального использования природных и энергетических ресурсов Европейского Севера: сб. науч. тр. Архангельск: АЛТИ, 1994. С. 105–111.
15. Лумайпен Д., Пузырев С.С., Чижов Г.И. Размол при низкой концентрации М.: Изд-во ЦИНТИХимнефтемаш, 1992. 23 с. (Целл.-бум. машиностроение: обзор. информ.).
16. Материалы компаний «Advanced Fiber Technology» (AFT): информ. сообщение // 8-й Междунар. науч.-техн. конф. «Pap-For». СИБ., 2004. 217 с.
17. Пузырев С.С., Коростелев С.А., Ковалева О.П. Размол при низкой концентрации // Целлюлоза. Бумага. Картон. 2006. № 5. С. 54–58.
18. ISO/TS 17958:2013. Paper and Board. Determination of Fracture Toughness. Constant Rate of Elongation Method. Technical Committee, Subcommittee SC 2, 2013. 16 p.
19. Mäkelä P., Fellers C. An Analytic Expression for Determination of Fracture Toughness of Paper Materials // Innventia Report. 2010. No. 54.
20. Mäkelä P., Nordhagen H., Gregersen Ø.W. Validation of Isotropic Deformation Theory of Plasticity for Fracture Mechanics Analysis of Paper Materials // Nordic Pulp Paper Res. J. 2009. No. 24. Pp. 388–394.
21. SCAN-P77-95. Papers and Boards. Fracture Toughness. Scandinavian Pulp, Paper and Board. Testing Committee. 8 p.
22. TAPPI Standard T 231 pm-96. Zero-Span Breaking Strength of Pulp (Dry Zero-Span Tensile). Test Method T 231 cm-07. Atlanta, USA: TAPPI Press, 1996.
23. TAPPI T Standard 273 pm-95. Wet Zero-Span Tensile Strength of Pulp. Atlanta, USA: TAPPI Press, 1995.
24. Varanasi S., Batchelor W.J. Rapid Preparation of Cellulose Nanofibre Sheet // Cellulose. 2013. Vol. 20, no. 1. Pp. 211–215.

Поступила 24.10.17